

論 文

実数幂による関数の近似表現*

小林 康浩** 大北正昭** 井上倫夫**

Abstract

For an accurate uniform analog simulation, uniformly continuous functions should be expressed in a full range of the given domain by approximations of the form:

$$f(x) \approx a_0 + a_1 x + a_2 x^{\beta_1} + a_3 x^{\beta_2}$$

It is noticeable that the exponents β_1, β_2 are respectively determined by real numbers according to the nature of the given function. A maximum error due to this approximation is given by a moderate value enough to be used for this purpose, and its magnitude is comparable with that caused by other approximations having an equal number of parameters. The usefulness of this approximation can be found in the fact that different values of the parameters are available for a wide range of approximation.

A numerical method how to determine the parameters is described with its computing program and an optimum approximation obtained by this procedure is shown with its error curve. As for different functions, numerical data are tabulated.

1. 序 論

一様連続な関数をアナログ模擬する場合、全定義領域を若干の区間に分割し、分割区間ごとに被近似関数を直線線分で近似する方法¹⁾、曲線弧で近似する方法²⁾、両者の併用による方法³⁾などが提案されているが、これらの方針によると、線素の継目やその中間で、不可避的に誤差が増加する。継目なしで、解析関数を一様近似しようとして多項式を用いると、大抵の関数に対して高精度の近似が得られるが、この種の近似式を、忠実に再現することによって関数模擬を行うとすれば、次数に見合った数の曲線を発生する必要がある。このため実際の回路構成は複雑となり、かえって動的精度の劣化を招くことになる。そこで、できるだけ少ない線素で、なるべく広い領域で、継目をつくるらずに、精度よく、一様模擬することを可能にするような近似式の考案が望まれる。

このような目的にかなうものとして、「実数幂」項

をその中に含む代数式を用いる近似、名づけて「実数幂近似」が提案される。このような、実数值で与えられる指数をもつ入力の幂の項を、非直線性の近似に用い、その結果を入力比例項で1次補正するようにすると、本文で述べるように、1つの実数幂項は、通常の整数幂項からなる近似多項式の、2次以上の高次2項に相当させることができるので、アナログ模擬に充分な精度を保ちながら、その分だけ使用すべき曲線素の数を少なくすることができる。筆者等は、この方式を応用して、1本の直線と1本の曲線とを使用し、比較的少ない誤差で、滑らかな関数を発生させることができることを示した^{4), 5)}。また、実数幂近似の再現によって実際に関数を発生させる場合、対数增幅器と逆対数增幅器を組み合わせて用いると^{6), 7)}、幂指数の設定が極めて容易となるので、アナログ演算システムに広く利用でき、また、図形・文字のディスプレイにも応用することができるものと思われる。

この論文では、このような実数幂を用いる近似に当って、その幂指数の値と係数の値を決定する方法について述べる。具体的には、

- (i) テイラー展開形の対応項を相等しいと置いて求める方法

* Fractional Powers Approximation for Nonlinear Functions
by Yasuhiro KOBAYASHI, Masaaki OHKITA and Michio INOUE (Department of Electrical Engineering, Faculty of Engineering, Tottori University).

** 鳥取大学工学部電気工学科

(ii) 等比点補間によって得られる近似式を修正して、最適近似式を求める方法

について詳述する。さらに、(ii)の方法によって、実際に任意の解析関数の最適実数逼近式を求める場合の演算プログラムと、これによって得られたいいくつかの関数に対する最適実数逼近式を、その最大偏差値とともに一括して掲げる。なお、誤差分布については、紙面の都合上、その一例を挙げるにとどめる。

2. 実数逼近式

2.1 テイラー展開より求める近似式

任意の解析関数 $f(x)$ を、一般に、実数で与えられるような指数をもつ入力変数の幂の項を含む代数式

$$g(x) = \alpha_0 + \alpha_1 x + \alpha_2 x^{\beta_1} + \alpha_3 x^{\beta_2} \quad (1)$$

を用いて近似する問題を考える。

ここで、 $\alpha_0, \alpha_1, \alpha_2, \alpha_3, \beta_1, \beta_2$ は、被近似関数 $f(x)$ の形にしたがって与えられる定数である。

いま、関数 $f(x)$ が、閉区間 $[a, b]$ の至るところで連続微分可能で、かつ、点 a において解析的であるとし、係数列 $\{A_r\}$ が速やかに収束するとき、 n を適当に大きくとれば、 $f(x)$ は点 a の近傍で

$$\begin{aligned} f(x) &= \sum_{r=0}^{\infty} \frac{f^{(r)}(a)}{r!} (x-a)^r \\ &\approx \sum_{r=0}^n A_r x^r \end{aligned} \quad (2)$$

のような幂級数に展開できる。ただし、 a は展開中心で

$$0 \leq a \ll 1$$

を満たすものとする。また、 A_r は

$$A_r = \frac{1}{r!} \sum_{l=0}^{n-r} \frac{(-1)^l}{l!} a^l f^{(l+r)}(a)$$

で与えられる。

同様に、点 a の近くで式(1)を展開すると

$$g(x) \approx \sum_{r=0}^n C_r x^r \quad (3)$$

のように書くことができる。ただし

$$C_r = \begin{cases} \alpha_0 + \frac{(-1)^n R_1 a^{\beta_1}}{n! \beta_1} \alpha_2 + \frac{(-1)^n R_2 a^{\beta_2}}{n! \beta_2} \alpha_3 & (r=0), \\ \alpha_1 + \frac{(-1)^{n-1} R_1 a^{\beta_1-1}}{(n-1)! (\beta_1-1)} \alpha_2 + \frac{(-1)^{n-1} R_2 a^{\beta_2-1}}{(n-1)! (\beta_2-1)} \alpha_3 & (r=1), \\ \frac{(-1)^{n-r} R_1 a^{\beta_1-r}}{(n-r)! r! (\beta_1-r)} \alpha_2 + \frac{(-1)^{n-r} R_2 a^{\beta_2-r}}{(n-r)! r! (\beta_2-r)} \alpha_3 & (2 \leq r \leq n) \end{cases}$$

である。ここで

$$R_1 = \beta_1(\beta_1-1)(\beta_1-2)\cdots(\beta_1-n),$$

$$R_2 = \beta_2(\beta_2-1)(\beta_2-2)\cdots(\beta_2-n)$$

と書かれる。このとき、もし

$$C_r = A_r \quad (0 \leq r \leq n) \quad (4)$$

とすることができる

$$g(x) \approx f(x) \quad (5)$$

とみなすことができる。

いま、初項より第6項までの対応する係数が、それぞれ相等しいと置くと、6個の定数はつきのように与えられる。この場合、 α が1より充分小さい正数として与えられているので、幂指数 β_1 の値は、2次方程式の解として得されることになる。即ち

$$\left. \begin{aligned} \beta_1 &= \frac{1}{2t_1} (-t_2 + \sqrt{t_2^2 - 4t_1 t_3}), \\ \text{または} \\ &= \frac{1}{2t_1} (-t_2 - \sqrt{t_2^2 - 4t_1 t_3}), \end{aligned} \right\} \quad (6)$$

ただし

$$t_1 = S_1 S_6 - S_4 S_3,$$

$$t_2 = S_6 S_2 - S_5 S_3,$$

$$t_3 = S_5 S_1 - S_4 S_2,$$

$$S_1 = 12\alpha^2(n-3)! \{3\alpha A_3 + (n-2)A_2\},$$

$$S_2 = -12\alpha^2(n-3)! \{9\alpha A_3 + 2(n-2)A_2\},$$

$$S_3 = 6\alpha^2(n-3)! \{2\alpha A_3 + (n-2)A_2\} - n!(A_0 - \alpha_0),$$

$$S_4 = \frac{100}{n-4} \alpha^2 A_5 + 32\alpha A_4 + 3(n-3)A_3,$$

$$S_5 = -\frac{500\alpha^2}{n-4} A_5 - 128\alpha A_4 - 9(n-3)A_3,$$

$$S_6 = \left(\frac{20\alpha^2}{n-4} + 8\alpha \right) A_5 + (n-3)A_3$$

で、また β_2 については

$$\left. \begin{aligned} \beta_2 &= \frac{S_4 \left\{ \frac{1}{2t_1} (-t_2 + \sqrt{t_2^2 - 4t_1 t_3}) \right\} + S_5}{S_6 \left\{ \frac{1}{2t_1} (-t_2 + \sqrt{t_2^2 - 4t_1 t_3}) \right\} - S_4}, \\ \text{または} \end{aligned} \right\} \quad (7)$$

$$\left. \begin{aligned} \beta_2 &= \frac{S_4 \left\{ \frac{1}{2t_1} (-t_2 - \sqrt{t_2^2 - 4t_1 t_3}) \right\} + S_5}{S_6 \left\{ \frac{1}{2t_1} (-t_2 - \sqrt{t_2^2 - 4t_1 t_3}) \right\} - S_4} \end{aligned} \right\}$$

のように書かれる。 β_1, β_2 は、それぞれ2組ずつ得られが、式(6)の第1式は、式(7)の第2式と、式(6)の第2式は、式(7)の第1式とそれぞれ等しくなるので、 $\beta_1 < \beta_2$ となるような値をそれぞれの幂指数とし

て採用すると、係数 α_2, α_3 はそれぞれ

$$\alpha_2 = \frac{(-1)^n R_2 a^{\beta_1-4} (\{4aA_4 + (n-3)A_3\} \beta_2)}{24 A_1 (n-3)! (\beta_2 - 3)} *$$

$$* \frac{-\{16aA_4 + 3(n-3)A_3\}}{(\beta_2 - 4)} \quad (8)$$

$$\alpha_3 = \frac{(-1)^{n-1} R_1 a^{\beta_1-4} (\{4aA_4 + (n-3)A_3\} \beta_1)}{24 A_1 (n-3)! (\beta_1 - 3)} *$$

$$* \frac{-\{16aA_4 + 3(n-3)A_3\}}{(\beta_1 - 4)} \quad (9)$$

で与えられることになる。ただし

$$A_1 = \frac{R_1 R_2 a^{\beta_1+\beta_2-7} (\beta_2 - \beta_1)}{144 (n-3)! (n-4)! (\beta_1 - 3) (\beta_1 - 4) (\beta_2 - 3) (\beta_2 - 4)}$$

また、係数 α_1, α_0 についてはそれぞれ

$$\alpha_1 = A_1 + \frac{(-1)^n R_1 a^{\beta_1-1}}{(n-1)! (\beta_1 - 1)} \alpha_2 + \frac{(-1)^n R_2 a^{\beta_2-1}}{(n-1)! (\beta_2 - 1)} \alpha_3 \quad (10)$$

$$\alpha_0 = A_0 - \frac{(-1)^n R_1 a^{\beta_1}}{n! \beta_1} \alpha_2 - \frac{(-1)^n R_2 a^{\beta_2}}{n! \beta_2} \alpha_3 \quad (11)$$

で与えることができる。このように、 $\alpha_0, \alpha_1, \alpha_2, \alpha_3, \beta_1, \beta_2$ の値を定めると

$$A_r = C_r \quad (r=0, 1, 2, \dots, 5) \quad (12)$$

とすることができる。

この場合の近似誤差は

$$\left. \begin{aligned} \varepsilon(x) &\equiv f(x) - g(x) \\ &= \sum_{r=0}^n (A_r - C_r) x^r \end{aligned} \right\} \quad (13)$$

となり、6次以上の高次項の打ち切り誤差は残るが、
 $A_r \cdot C_r > 0 \quad (14)$

の場合には、通常の多項式による打ち切り誤差に比べて、相対的に有利となる。

2.2 等比点補間法により求める最適近似式

前節の方法で得られた近似式を用いる場合の誤差は、与えられた区間の内部であっても、展開中心 a を離れるとき急激に増加するので、与えられた区間内（その両端を含めて）で最大偏差値の平坦化を図り

$$\sup |f(x) - g(x)| \quad 0 \leq x \leq 1$$

を最小にするような近似式、即ち、ミニマックス近似式を求めてみる。ところで、アナログ計算機での使用を前提として考えると、誤差電圧の絶対値だけではなく、その時間積分値の小さいことが望まれるので、

- (i) 与えられたパラメータの数に対し、近似区間に（その両端点を含んで）で、最多の離散根をもち、
- (ii) 離散根の中間では、それぞれその絶対値の相等しい正および負の極値が、交互に現われるような振動形の誤差分布を生ずる

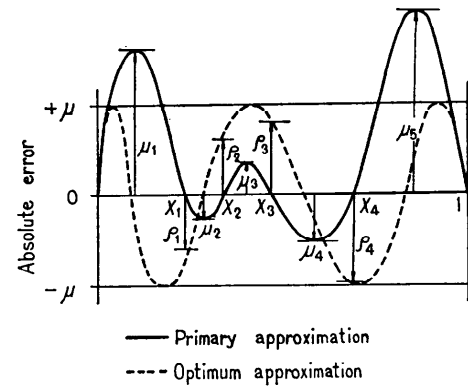


Fig. 1 Relation of error-curves between the primary and optimum approximations.

ように各パラメータ $\alpha_0, \alpha_1, \alpha_2, \alpha_3, \beta_1, \beta_2$ を与えなければならない。

いま、 $x=0$ および $x=1$ で、それぞれ真値をとり、 $0 < x < 1$ でその絶対値がたがいに相等しい正および負の極値が、交互に全部で 5 つ生ずるとき、区間内の適当な 4 つの離散点 X_i ($X_i < X_{i+1}$: $i=1, 2, 3, 4$) で、それぞれある偏差 ρ_i をとるとする (Fig. 1 参照)。

解法の便宜上

$$X_i = \lambda^{-(5-i)} \quad (\lambda > 1) \quad (15)$$

のように各点を x 軸上に配列し

$$\left. \begin{aligned} f(0) &= \alpha_0 \\ f(X_i) + \rho_i &= \alpha_0 + \lambda^{-1} \alpha_1 + \lambda^{-\beta_1 i} \alpha_2 + \lambda^{-\beta_2 i} \alpha_3, \\ f(1) &= \alpha_0 + \alpha_1 + \alpha_2 + \alpha_3 \end{aligned} \right\} \quad (16)$$

が成り立つものと仮定する。

式(16)の係数 $\alpha_0, \alpha_1, \alpha_2, \alpha_3$ および幕指数 β_1, β_2 の各値は、当然のことながら前節の方法で得られた各値とは相違する。

式(16)の ρ_i は、離散点 X_i での偏差値ではじめこれを零とおいて第 1 近似式を求め、それ以後は

$$\rho_i = \| \mu_i \| - |\mu_{i+1}| \cdot W \cdot \text{MAG}(\mu_i, \mu_{i+1}) \quad (17)$$

と置く。ここで、 W は計算の収束を加速するための「重み」であり、 $\text{MAG}(\mu_i, \mu_{i+1})$ は極値 μ_i および μ_{i+1} のうちで、その絶対値の大きい方の符号が用いられるべきことを指示している。そして、 ρ_i の値を加減することによって、すべての極値が相等しくなるよう $\alpha_1, \alpha_2, \alpha_3, \beta_1, \beta_2$ の値を修正するものである。

いま

$$\left. \begin{aligned} \beta_1 &\neq \beta_2, \quad \beta_1, \beta_2 \neq 1, \\ \lambda^{-\beta_1} \cdot \lambda^{-\beta_2} &= Z > 0, \\ \lambda^{-\beta_1} + \lambda^{-\beta_2} &= Y > 0 \end{aligned} \right\} \quad (18)$$

と置くと、式(16)よりつきの関係が得られる。

$$F_1 Y^2 + F_2 Y + F_3 = 0 \quad (19)$$

ただし

$$F_1 = \frac{f_3^2}{f_4} \left(\frac{f_3}{f_4} - \frac{f_2}{f_3} - \lambda^{-1} + \lambda^{-2} \frac{f_4}{f_3} \right),$$

$$F_2 = \frac{f_3^2}{f_4} \left(\frac{f_1}{f_3} - 2 \frac{f_2}{f_4} + \frac{f_2^2}{f_3^2} + 2 \lambda^{-1} \frac{f_3}{f_4} - \lambda^{-2} \left(2 + \frac{f_2 f_4}{f_3^2} \right) + \lambda^{-3} \frac{f_4}{f_3} \right),$$

$$F_3 = \frac{f_3^2}{f_4} \left(\frac{f_2}{f_3} - \lambda^{-1} \right) \left(\frac{f_2}{f_4} - \frac{f_1}{f_3} - \lambda^{-1} \frac{f_3}{f_4} + \lambda^{-2} \right)$$

さらに

$$f_i = f(X_i) - f(0) - \lambda^{-(5-i)} f(1) + \lambda^{-(5-i)} f(0) + \rho_i, \quad i=1, 2, 3, 4$$

とする。2次方程式(19)の2根を Y_1, Y_2 ($Y_1 \neq Y_2$) とすると、これらの2根の値は

$$\left. \begin{aligned} Y_1 &= \frac{1}{2F_1} (-F_2 + \sqrt{F_2^2 - 4F_1F_3}) \\ Y_2 &= \frac{1}{2F_1} (-F_2 - \sqrt{F_2^2 - 4F_1F_3}) \end{aligned} \right\} \quad (20)$$

のように表わされる。Zについても同様に

$$\left. \begin{aligned} Z_1 &= \left(\frac{f_3}{f_4} - \lambda^{-1} \right) Y_1 - \frac{f_3}{f_4} \left(\frac{f_2}{f_3} - \lambda^{-1} \right) \\ Z_2 &= \left(\frac{f_3}{f_4} - \lambda^{-1} \right) Y_2 - \frac{f_3}{f_4} \left(\frac{f_2}{f_3} - \lambda^{-1} \right) \end{aligned} \right\} \quad (21)$$

のように与えることができる。

これらの関係を式(18)に代入すると

$$\beta_2 = - \frac{\log \left\{ \frac{1}{2} (Y_1 + \sqrt{Y_1^2 - 4Z_1}) \right\}}{\log \lambda} \quad (22)$$

または

$$= - \frac{\log \left\{ \frac{1}{2} (Y_1 - \sqrt{Y_1^2 - 4Z_1}) \right\}}{\log \lambda}$$

または

$$= - \frac{\log \left\{ \frac{1}{2} (Y_2 + \sqrt{Y_2^2 - 4Z_2}) \right\}}{\log \lambda}$$

または

$$= - \frac{\log \left\{ \frac{1}{2} (Y_2 - \sqrt{Y_2^2 - 4Z_2}) \right\}}{\log \lambda}$$

のように4通り与えられ、これに対応して

$$\beta_1 = -\beta_2 - \frac{\log Z}{\log \lambda} \quad (23)$$

も4通り与えられることになる。ところで

$$\left\{ \lambda^{-\beta_1} - \left(\frac{f_3}{f_4} - \lambda^{-1} \right) \right\} \left\{ \lambda^{-\beta_2} - \left(\frac{f_3}{f_4} - \lambda^{-1} \right) \right\} \\ = \left[\left(\frac{f_3}{f_4} - \lambda^{-1} \right)^2 - \left(\frac{f_2}{f_4} - \lambda^{-1} \frac{f_3}{f_4} \right) \right] \quad (24)$$

で示されるように、 $\lambda^{-\beta_1}, \lambda^{-\beta_2}$ の各値は、 $\lambda^{-\beta_1}, \lambda^{-\beta_2}$ 平面上で、 $(f_3/f_4) - \lambda^{-1}$ を漸近線とする放物線上にあり、 $\lambda^{-\beta_1} = \lambda^{-\beta_2}$ を対称軸として、その両側に分布する（原理的には、 β_1 と β_2 には、それぞれ4種類の値が存在するが、 $\beta_1 < \beta_2$ のように定義すると、 β_1 および β_2 のとり得る値はそれぞれ2種類となる）ので、これらの中から式(16)を満足するものを選び、それを、 β_1 および β_2 とすればよい。従って、 α_2, α_3 については

$$\alpha_2 = \frac{1}{D_2} \{(-\lambda^{-3} + \lambda^{-3\beta_1}) f_1 - (-\lambda^{-4} + \lambda^{-4\beta_1}) f_2\}, \quad (25)$$

$$\alpha_3 = \frac{1}{D_2} \{(-\lambda^{-4} + \lambda^{-4\beta_1}) f_2 - (-\lambda^{-3} + \lambda^{-3\beta_1}) f_1\} \quad (26)$$

のように求め、 α_1 については

$$\alpha_1 = f(1) - f(0) - \alpha_2 - \alpha_3 \quad (27)$$

と与えればよい。 α_0 については、式(16)から直ちに

$$\alpha_0 = f(0) \quad (28)$$

のように求められる。ここで

$$\begin{aligned} D_2 &= (-\lambda^{-4} + \lambda^{-4\beta_1})(-\lambda^{-3} + \lambda^{-3\beta_1}) \\ &\quad - (-\lambda^{-4} + \lambda^{-4\beta_1})(-\lambda^{-3} + \lambda^{-3\beta_1}) \end{aligned}$$

である。

実際のアナログ模擬では、再生系の定数設定の不正確さによる誤差の方が近似式固有の誤差より大きくなりがちなので、実数項を1つ省略した近似式を用いても、実用上充分な精度で目的関数の発生が期待される。この場合の近似式^{4), 5)}は、前述の解法で $\beta_1 = 1$ としても与えることができる。

3. 数値計算

最適近似の条件をどの程度満足したかを判定する目安として、最大偏差値の絶対値の最小値と最大値との比をとり、この値が 0.9999 を越えたものを終局の近似式とした。このようにして得られた近似式のいくつかの例を、最大偏差値とともに Table 1 (708 頁参照) と掲げる。さらに、Fig. 2 (次頁～708 頁参照) には、 $\cosh(x)$ ($0 \leq x \leq 1$) を実数近似する場合の各係数および幂指数の値を求めるプログラムとその結果を、また、

(708 頁に続く)

```

VJ08 NOCC

C FRACTIONAL POWERS APPROXIMATION
C F(X)=AD+A1*X+A2*X^2+FM1+A3*X^3+FM2
C
C DIMENSION XA(2),XX(5),EY(5)
C COMMON /HARE/ I
C COMMON /AME/A0,A1,A2,A3,FM1,FM2
C CALL SETSF(I1H,1)
C READ(10,110) I1,ALH,ESTD,HEI,W
C WRITE(6,896) I1,ALH,ESTD,HEI,W
C
888 FORMAT(LH,T13,'INPUT DATA //',T15,I3,2E15.7/
    *T15,2E15.7/)
C 110 FORMAT(I3,4E15.7)
C FUNCTION NAME
C GO TO (11),
C WRITE(6,511)
C
11 511 FORMAT(LH,T13,'OUTPUT DATA'//*
    *T10,'***** COS(HX) *****')
C BEST APPROXIMATION
C
12 XI=1.0/ALH
13 XII=XIV/ALH
14 XIO=XII/ALH
15 XOI=XI/ALH
16 AD=FS(0.0)
17 A1=FS(XI)
18 A2=FS(XII)
19 A3=FS(XIII)
20 FL1=HINT
21 FL2=HINT
22 FL3=HINT
23 FFL1=HINT
24 FFL2=HINT
25 FFL3=HINT
26 FFL4=HINT
27 I1=0
28 999 FL1=FL1+FFL1
29 FL2=FL2+FFL2
30 FL3=FL3+FFL3
31 FL4=FL4+FFL4
32 F1=FS(XIO)-AD-AA*XOI+AU*XO+FL1
33 F2=FS(XII)-AD-AA*XIC+AU*XIO+FL2
34 F3=FS(XIII)-AD-AA*XII+AU*AII+FL3
35 FA=FS(XIV)-AD-AA*XIV+AU*AIV+FL4
36 A=F3/F(XIV)
37 A0=I1*(XII+XIV)+A*=F2*(XIV+A)
38 AIO=I1*(XIV+A)-F2*(XIV+C)+F3*(XIV+C+
    *2.0*A-C*A*FR+C)
39 AII=C*(F3*(C-XIV*2+C)+F1)
40 I1=I1+1
41 CALL ORDER2(A01,AIC,AII,XA,KOR)
42 AOI=.U
43 IF(KOR.EQ.3) GO TO 3000
44 PR=X(A1)
45 AIO=-FR
46 AII=-FR+C
47 CALL ORDER2(A01,AIO,AII,XA,KCR)
48 IF(KOR.EQ.3) GO TO 3001
49 X=X(A1)
50 V=PR-X
51 IF(V.LE.0.0) GO TO 3000
52 AALOC=ALOG10(ALH)
53 FM1=-ALOC1U(X)/AALOC
54 FM2=-ALOC1J(Y)/AALOC
55 DELTA=XIO*(Y**2-X**2)+XII*(X**3-Y**3)+*
    *(X-Y)**2*(Y-X)
56 A2=(F3*(X**2-XII)-F3*(X**3-XIO))/DELTA
57 A3=(F2*(X**2-XII)-F3*(X**3-XIO))/DELTA
58 AI=AA-UR-A2-A3
59 C CALCULATION OF THE PEAK
60 JI=0
61 X=0.0
62 850 DX=0.05
63 700 EERR1=FS(X)-F(X)
64 XX2=X*DX
65 EERR2=FS(XX2)-F(XX2)
66 XX3=X*DX+DX
67 EERR3=FS(XX3)-F(XX3)
68 EER1=EERR2-EERR1
69 EFR2=EERR3-EERR2
70 EER2=EER1+EERR2
71 IF(EER2).GT.0.50J,600
72 600 X=x+DX
73 GO TO 700
74 500 EEE=ABS(EERR1)
75 IF(EEE-FSTD).GT.0.90J,900
76 909 DX=DX*0.5
77 GO TO 703
C OUTPUT OF THE ANSWER OF EACH STEP
78 800 JI=JI+1
79 XXJ1=X*DX
80 XAA=XX(J1)
81 EY(J1)=FS(XAA)-F(XAA)
82 X=XX(J1)
83 IF(J1>5) 850,890,890
84 850 EFF1=AH5(EY(1))-AB5(EY(2))
85 EFF2=AH5(EY(2))-AB5(EY(3))
86 EFF3=AH5(EY(3))-AB5(EY(4))
87 EFF4=AH5(EY(4))-AB5(EY(5))
88 EEMAX=ABS(L(Y1))
89 EEMIN=ABS(L(Y1))
90 DO 9 JJ=2,5
91 IF(EEMAX-AB5(EY(JJJ)).LT.1.1*2
92 EEMAX=ABS(EY(JJJ))
93 GO TO 9
94 2 IF(EEMIN-AB5(EY(JJJ)).GT.9.9*3
95 EEMIN=ABS(EY(JJJ))
96 9 CONTINUE
97 HIN=(EEMIN/EEMAX)*100.0
98 IF(I11,NE,1) GO TO 220
99 101 WRITE(6,333) I1H,HIN
100 WRITE(6,313) A0,A1
101 WRITE(6,444) A2,A3
102 WRITE(6,595) FM1,FM2
103 WRITE(6,302) (JI,XX(J1),EY(J1),JI=1,5)
104 333 FORMAT(//5X,12HITERATIONS =,13.4X,
    *19HRATIO OF BEST FIT =,15.7/)
105 313 FORMAT(1H ,5X,3HA0=,E20.11,5X,3HA1=,E20.11,
    *444 FORMAT(1H ,5X,3HA2=,E20.11,5X,3HA3=,E20.11,
    *595 FORMAT(1H ,4X,4HFMI=,E20.11,4X,4HFMI=,
    *     *E20.11/),
106 302 FORMAT(1H ,5X,3HXK,(I3,2H)=,E17.10,5X,
    *5HEMAX=,E17.10)
107 C CHECK OF BEST FIT
108 220 IF(HINT.CE.HEY1) GO TO 300
109 HINT=ABS(HIN)
110 IF(HINT-HEY1).GT.3200.101,101
111 3200 FFL1=ABS(FF1)*W
112 FFL2=ABS(FF2)*W
113 FFL3=ABS(FF3)*W
114 FFL4=ABS(FF4)*W
115 EY1=EY(1)
116 EY2=EY(2)
117 EY3=EY(3)
118 EY4=EY(4)
119 EY5=EY(5)
120 IF(FF1).GT.41,41,42
121 FFL1=-SIGN(FFL1,EY1)
122 41 FFL1=-SIGN(FFL1,EY1)
123 GO TO 25
124 42 FFL1=-SIGN(FFL1,EY2)
125 25 IF(FF2).GT.43,43,40
126 43 FFL2=-SIGN(FFL2,EY2)
127 GO TO 45
128 40 FFL2=-SIGN(FFL2,EY3)
129 45 IF(FF3).GT.50,50,60
130 50 FFL3=-SIGN(FFL3,EY3)
131 GO TO 65
132 60 FFL3=-SIGN(FFL3,EY4)
133 45 IF(FF4).GT.70,70,80
134 70 FFL4=-SIGN(FFL4,EY4)
135 GO TO 75
136 80 FFL4=-SIGN(FFL4,EY5)
137 75 GO TO 999
138 3000 WRITE(10,111)
139 GO TO 300
140 3001 WRITE(10,112)
141 GO TO 300
142 111 FORMAT(1H ,T5,'(X=M1+XM2)---',
    *T20,'(IMAG.,ZERO,NEGA.)')
143 112 FORMAT(1H ,T5,'XM1 --- (IMAG.,ZERO,NEGA.)')
144 300 STOP
145 END

1 SUBROUTINE ORDER2(A01,AIC,AII,XA,KOR)
C 2ND ORDER EQUATION
C A01-AIO,AII-AIC-COEFFICIENTS(REAL)
C KOR=1--ONE ROOT
C KOR=2--TWO ROOTS
C KOR=3--NOTHING(IMAG.,ZERO,NEGA.)
C
2 KOR=3
3 DIVISION XA(2)
4 IF(A1,EQ.0.0) GO TO 10
5 B=A01-AIC
6 D=A10**2-4.0*A01*AII
7 IF(D).GT.0,J3,40
8 KOR=3
9 RETURN
10 KOR=2
11 XA(1)=-A10/B
12 GO TO 50
13 XA(1)=-AII/A10
14 IF(XA(1).LT.0.0) GO TO 20
15 KOR=1
16 RETURN
17 XA(1)=(-A10+SQR(D))/B
18 XA(2)=(-A10-SQR(D))/B
19 XA(1),G1,D,L) GO TO 60
20 XA(1)=X(A2)
21 GO TO 70
22 KOR=2
23 IF(XA(2).LE.0.0) GO TO 70
24 END

1 FUNCTION FS(SX)
2 COMMON /HARE/ I
3 GO TO (1,1)
4 1 FS=CCSH(SX)
5 RETURN
6 END

```

```

1      FUNCTION F(X)
2      COMMON /AME/A0,A1,A2,A3,FM1,FM2
3      F=A0+A1*X+A2*X**FM1+A3*X**FM2
4      RETURN
5      END

INPUT DATA
1   0.1386277E 01  0.1000000E-09
0.999900E 02  0.300000E 00

OUTPUT DATA      ***** COSH(X) *****

ITERATIONS = 1      RATIO OF BEST FIT = 0.2629070E 01
A0= 0.1000000000E 01    A1= 0.3981594000E-03
A2= -0.5021024234E 00    A3= 0.4054005293E-01
FM1= -0.20045533982E 01    FM2= 0.41425578443E 01

XX( 1)= 0.63281250E-01    EMAX=-0.827317261E-05
XX( 2)= -0.31875000E 00    EMAX= 0.21750747692E-06
XX( 3)= 0.45625000E 00    EMAX=-0.2541928552E-06
XX( 4)= 0.6468749595E 00    EMAX= 3.7822818588E-06
XX( 5)= 0.9164062499E 00    EMAX=-0.6557907909E-05

ITERATIONS = 30     RATIO OF BEST FIT = 0.9999260E 02
A0= 0.1000000000E 01    A1= 0.21057173171E-03
A2= -0.50202743965E 00    A3= 0.40842623388E-01
FM1= 0.20034553447E 01    FM2= 0.41395501775E 01

XX( 1)= 0.3710937500E-01    EMAX=-0.2752043656E-05
XX( 2)= -0.2058593751E 00    EMAX= 0.275014552E-05
XX( 3)= 0.465625000E 00    EMAX=-0.2752130568E-05
XX( 4)= 0.7390624995E 00    EMAX= 0.2752101864E-05
XX( 5)= 0.9437499999E 00    EMAX=-0.2752218279E-05

```

Fig. 2 Program for the optimum fractional powers approximation and its output data.

Table 1 Optimum fractional powers approximations furnishing more than 0.9999 of error-balance*

$$0 \leq x \leq 1$$

Functions	Minimax Fractional Powers Approximations	Max. Abs. Errors	Full Scale Errors (%)
$\exp(x)$	$1.00000000 + 1.002261347x + 0.571024656x^2 - 0.088445483 + 0.144995825x^3 - 0.694810965$	0.2193×10^{-4}	0.8068×10^{-3}
$\sinh(x)$	$0.00000000 + 1.000004326x + 0.167050467x^2 - 0.0016811807 + 0.008146400x^3 - 1.11802379$	0.1839×10^{-6}	0.1565×10^{-4}
$\cosh(x)$	$1.00000000 + 0.000210572x + 0.502027440x^2 - 0.00458345 + 0.040842623x^3 - 1.89990178$	0.2752×10^{-1}	0.1783×10^{-3}
$\sin\left(\frac{\pi}{2}x\right)$	$0.00000000 + 1.570689523x - 0.658293404x^2 - 0.012203203 + 0.087603880x^3 - 7.08003679$	0.4318×10^{-8}	0.4318×10^{-8}
$\cos\left(\frac{\pi}{2}x\right)$	$1.00000000 - 0.003533570x - 1.281127771x^2 - 0.027488275 + 0.284661341x^3 - 6.248663310$	0.4250×10^{-4}	0.4250×10^{-4}
$\text{erf}(x)$	$0.00000000 + 1.127857706x - 0.660091651x^2 - 0.214827965 + 0.374934738x^3 - 7.080594602$	0.1871×10^{-4}	0.2220×10^{-3}

* Error-balance is defined by the ratio of the minimum to the maximum in absolute extremal deviations

Fig. 3 には、得られた近似式の誤差曲線を示す。なお、数値計算にあたっては、TOSBAC-3400/21 を使用した。

4. 檢 討

(i) 最適近似の条件

このようにして求めた近似式を用いると、与えられた区間の両端点は、偏差点ではなく零誤差点となってるので、両端点を偏差点として求めた近似式を用い

FRACTIONAL POWERS APPROXIMATION

FUNCTION: $\cosh(x)$ $0 \leq x \leq 1$

APPROXIMATION:

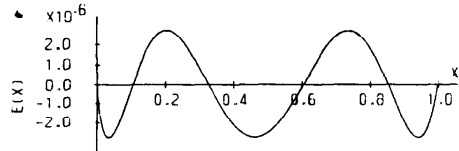
$$R_0 + R_1 x + R_2 x^{K_1} + R_3 x^{K_2}$$

$$R_0 = 1.00000000 \quad R_3 = 0.04084262$$

$$R_1 = 0.00021057 \quad K_1 = 2.00345535$$

$$R_2 = 0.50202744 \quad K_2 = 4.13999018$$

ERROR CURVE:



$$\text{MAX. ABS. ERROR} \leq 0.2752 \times 10^{-5}$$

$$\text{or } 0.1783 \times 10^{-3} \% \text{ F.S.)}$$

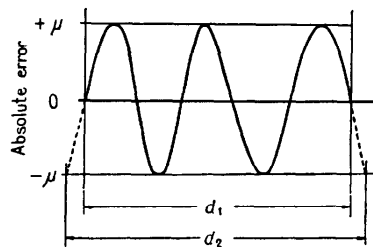
DEGREE OF ERROR-BALANCE $\geq 99.99\%$

Fig. 3 Error-curve given by the optimum fractional powers approximation of $\cosh(x)$. (This figure is drawn by a curve plotter.)

る場合と比べて零誤差点の数は同じであるが、正・負偏差点の数の合計は 2 つ少なく、従って、最大偏差値の絶対値も若干大きくなる。換言すると、本文で求めた最適近似式は、 N 個のパラメータをもつ通常の意味での最良近似式での第 1 零誤差点から第 N 零誤差点までの間を近似区間とする近似式である (Fig. 4 および Fig. 5 (次頁参照))。

(ii) 近似精度

このようにして求めた近似式を用いると、式中の実



d_1 : Domain in this proposal
 d_2 : Domain in a Chebyshev sense

Fig. 4 Different domains of optimum approximations with the same absolute extremal deviations.

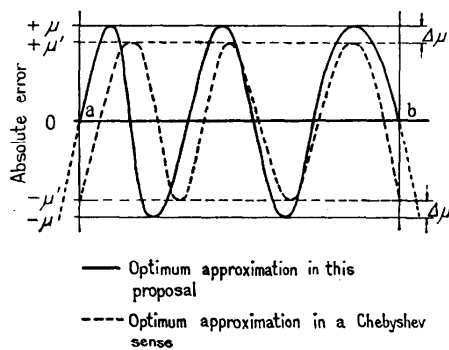


Fig. 5 Typical error-curves of different approximations in the same domain $[a, b]$.

数幂項の特性は、その係数と指数の2種類のパラメータで定まるので、指數値は固定で、その係数のみ可変の通常の幂の2項分に対応させることができる。このように実数幂近似式を用いると、大抵の解析関数の近似に当って、それと同じ数のパラメータをもつ多項式を用いた場合の近似精度に、ほぼ匹敵する近似精度が、より少ない項数の代数式で得られるので、再生系をより簡単化し得る利点がある。一般に、展開多項式が正項級数となる関数に対する近似では、係数、幂指数を求める段階で考慮しなかった高次項が差し引きされるので、良好な近似精度が得られる。特に、奇数項だけをもつ級数に展開される関数を近似する場合、打ち切り誤差の第1項が存在しないので、通常の多項式を用いる場合よりも良好な結果が得られる。また、近似区間が広がるに従って、展開式での高次項の影響がよく利いてくるので、精度は劣化していくが、劣化の程度は通常の多項式を用いる場合に比べ緩慢である。なぜならば、この方式の近似では、幂指数の値を大きくすることによって、高次項の影響に対応させること

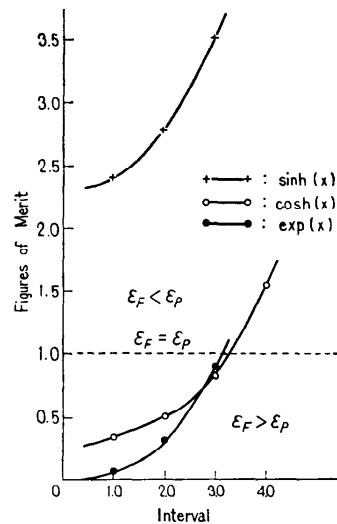


Fig. 6 Figures of Merit for both approximations using fractional powers and ordinary powers in the same interval. (Figure of Merit is given by $EPA/EPFA$, where, EPA and $EPFA$ show the absolute errors due to the minimax polynomial approximation of the fifth degree ϵ_P and due to the minimax fractional powers approximation ϵ_F respectively.)

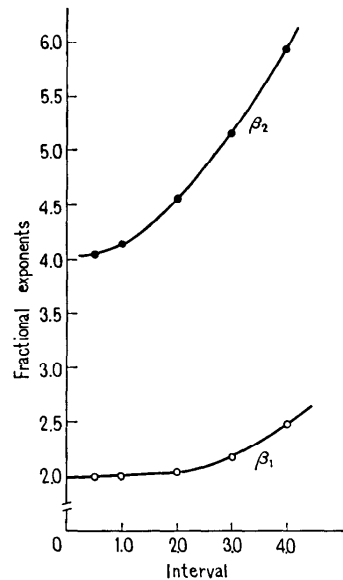


Fig. 7 Values of fractional exponents corresponding to extensions of the interval.

ができるからである。Fig. 6 および Fig. 7 にこれらの関係を図示する。

(iii) 最適化手法

最適近似式を求めるに当っては、補間法によって求めた近似式を逐次近似的に修正する方が便利である。この場合、一般には、補間点位置のシフト量と、これに対応する最大偏差値の増分とを線形化して解く方法が用いられるが、この方法によると、修正計算の都度マトリクスの全要素の値を更新しなければならない。筆者らはこれをさて、補間点の位置を修正の全過程を通して固定し、替りに、補間点から測った誤差を最大偏差値に関連づけ、この値を更新することによって、補間点をシフトするのと同様の効果が得られるようにした。この方法では、隣接最大偏差値の絶対値の差につける「重み」を適当に与えることによって、通常の方法よりも効果的に最適化を進めることができる。

(iv) 重み (W)

最適化手法については、振動を抑制し、しかも、収束を加速するために、適当な重みを採用する必要がある。その値は、関数の種類に応じて与えられねばならないが、筆者等の試算では、(1/3~1/20) の範囲で選んでおけば、大抵の初等関数の近似に当って、良好な結果を得ることができる。

5. 結論

ここで求めた近似式は、非直線性入出力伝達特性をもつ素子の、実解析的な一様連続性を利用して、継目をつくらずに、実解析的関数のアナログ模擬を行うのに適するものとして提案されたものである。

静的にも動的にも優れたアナログ模擬を行うには、式中に所要パラメータの数が少なく、変数同志の乗除算を含まず、なるべく少ない数の項で、手頃な精度が得られるような近似式を、再現する方法によることが望ましい。本近似式は、それ自身の精度の良さと、そ

の再現性の簡単さを同時にかなえるものと思われる。

本文では、アナログ計算機での使用を考慮して最適近似の条件を設定し、これを満たすような各パラメータの値を決定する方法について述べた。なお、近似式の最適化を補間点（本例では、第1近似式の零誤差点とした。）での偏差調整によって行う方法は、修正計算の全過程を通して補間点を固定しておけるので便利であり、他の形式の近似式の最適化にも応用することができる。

実数幕近似の精度そのものについて言えば、大抵の実解析関数に対する適用例からみても、同じ数のパラメータをもつ多項式を用いる場合のそれに、ほぼ匹敵することがわかる。

参考文献

- 1) A. Cantoni: Optimal Curve Fitting with Piecewise Linear Functions, IEEE Trans. Comput., Vol. C-20, No. 1, pp. 59~67 (1971).
- 2) 小林、大北、千葉: 任意関数発生装置、特公、昭50-9537.
- 3) A. Nathan: Linear and Nonlinear Interpolators, IEEE Trans. Electronic Comput., Oct., pp. 526~532 (1963).
- 4) Y. Kobayashi, M. Ohkita and M. Inoue: Fractional Power Approximation and Its Generation, Proc. AICA, Vol. 18, No. 2, (1976),
- 5) 小林、大北、井上: 実数幕近似を利用する関数発生、電気学会(昭和51年8月号に掲載決定).
- 6) 小林、大北、井上: 対数增幅器を用いる任意関数発生器、電通学会全国大会予稿集, 585 (July 1974).
- 7) Burr-Brown Res. Co. catalog: Multifunction Converter, Model 4301 (Oct. 1974).

(昭和50年7月17日受付)

(昭和50年11月10日再受付)